

УДК 597.5

НОВЫЙ ПОЛОРЫЛ *COELORINCHUS GANYMEDES* SP. NOVA ИЗ ВОД ПОЛИНЕЗИИ (MACROURIDAE)

© 2021 г. А. М. Прокофьев^{1, 2, *}

¹Институт проблем экологии и эволюции РАН – ИПЭЭ РАН, Москва, Россия

²Институт океанологии РАН – ИО РАН, Москва, Россия

*E-mail: prokartster@gmail.com

Поступила в редакцию 18.09.2020 г.

После доработки 21.10.2020 г.

Принята к публикации 22.10.2020 г.

Описан новый вид полорылов, *Coelorinchus ganymedes* sp. nova, из вод Маркизских о-вов, принадлежащий к группе видов “*C. hubbsi*”. Новый вид наиболее сходен с *C. gladius* и *C. spilonotus*, но отличается окраской, меньшим числом рядов шипиков на чешуях тела и рядом пропорций. Составлена таблица для определения видов группы “*C. hubbsi*”.

Ключевые слова: *Coelorinchus*, новый вид, Маркизские о-ва, определительная таблица.

DOI: 10.31857/S0042875221020193

Изучая коллекцию макруридов Парижского национального музея естественной истории (Muséum national d’Histoire naturelle – MNHN), я обнаружил большую серию экземпляров представителя рода *Coelorinchus* Giorna, 1809, собранную у Маркизских о-вов. По многим признакам эти рыбы похожи на гавайского *C. gladius* Gilbert et Cramer, 1897, однако ряд отличий, прежде всего, в окраске тела и ошиплении чешуй не оставляет сомнений в их принадлежности к новому для науки виду. Настоящая статья посвящена описанию этого нового вида.

МАТЕРИАЛ И МЕТОДИКА

Этикеточные данные типовой серии приведены при описании вида. Методика изучения изложена в работе Прокофьева (2020). В работе приняты следующие обозначения: *TL*, *HL* – соответственно полная длина тела и длина головы; *ID*, *PID*, *A*, *P*, *V* – соответственно первый и второй спинные, анальный, грудные и брюшные плавники. Меристические и пластические признаки голотипа приведены первыми, за ними в скобках – отличающиеся признаки параптипов; крайние значения, отмеченные у единственной особи, заключены в квадратные скобки. Измерения выполнены у 20 экз. наилучшей сохранности; длина головы и рыла, диаметр орбиты и посторбитальная длина измерены у всех рыб.

РЕЗУЛЬТАТЫ И ОБСУЖДЕНИЕ

Coelorinchus ganymedes Prokofiev, species nova
(рис. 1, 2)

Материал. Голотип, MNHN 2000-1064, *TL* 170 мм, *HL* 50 мм, $8^{\circ}45'0''$ ю. ш. $140^{\circ}07'01''$ в. д., 390–400 м, 26.08.1997 г. (рис. 1а). Параптипы, всего 32 экз.: MNHN 2000-1061, 7 экз., *TL* 130+–196 мм, *HL* 39.0–53.5 мм, $9^{\circ}43'59''$ ю. ш. $138^{\circ}51'0''$ в. д., 310–320 м, 30.08.1997 г.; MNHN 2000-1062, 2 экз., *TL* 132+ и 174+ мм, *HL* 46.0 и 52.5 мм, $8^{\circ}43'59''$ ю. ш. $140^{\circ}13'59''$ в. д., 350–355 м, 25.08.1997 г.; MNHN 2000-1063, 9 экз., *TL* 127+–167+ мм, *HL* 40–47 мм, $8^{\circ}46'01''$ ю. ш. $140^{\circ}07'01''$ в. д., 350 м, 26.08.1997 г.; MNHN 2000-1064, 1 экз., *TL* 68+ мм, *HL* 18 мм, $8^{\circ}45'0''$ ю. ш. $140^{\circ}07'01''$ в. д., 390–400 м, 26.08.1997 г.; MNHN 2000-1065, 3 экз., *TL* 135+–180+ мм, *HL* 41–64.5 мм, $9^{\circ}46'59''$ ю. ш. $139^{\circ}37'59''$ в. д., 500–650 м., 02.09.1997 г.; MNHN 2003-0970, 2 экз., *TL* 155+ и 184+ мм, *HL* 44 и 50+ мм, $8^{\circ}49'01''$ ю. ш. $140^{\circ}16'59''$ в. д., 416–430 м., 09.09.1997 г.; MNHN 2000-0991, 8 экз., *TL* 128+–176+ мм, *HL* 49.0–58.5 мм, $8^{\circ}55'01''$ ю. ш. $140^{\circ}14'06''$ в. д., 283–448 м., 10.09.1997 г.

Диагноз. Вид группы “*C. hubbsi*” (sensu Iwamoto et al., 2009; Nakayama et al., 2020) с очень длинным рылом (1.9–2.1 раза в *HL*), длинной и узкой терминальной пластинкой; с диаметром орбиты, равным посторбитальной длине и превышающим длину верхней челюсти – 24.4–30.6, 23.1–30.6 и 15.9–21.4% *HL* соответственно; с (2)3–4(5) параллельными рядами шипиков на



Рис. 1. *Coelorinchus ganymedes* sp. nova: а – голотип, вид сверху; б – паратип MNHN 2003-0991, $HL\ 52.5\ mm$; в – паратип MNHN 2000-1065, $HL\ 64.5\ mm$, светящийся орган; г – паратип MNHN 2003-0991, $HL\ 52.5\ mm$, пигментация туловища и спинных плавников. Масштаб, мм: в – 5, г – 4.

чешуях туловища при HL 50–60 мм и циклоидными чешуями на истмусе; с обособленным контрастным супрапекторальным пятном и контрастным седловидным пятном позади начала IID .

Описание. Туловище вальковатое, хвостовой отдел сжат с боков, истончается каудально; толщина тела на уровне оснований P составляет 106.3 ([69.1]79.5–100.0)% от его максимальной высоты (приходящейся на область затылка и начала ID), в 1.3 (1.2–1.5) раза меньше максимальной ширины головы (на уровне ргаетерцикулум). Голова около 3.4 (3.1–3.8)¹ раза в TL . Рыло очень длинное, 2.0 (1.9–2.1) раза в HL , его дорсальный контур отчетливо вогнут, вершина немного вздернута вверх, боковые края резко и равномерно сходящиеся от уровня передненижнего конца носовой ямки к основанию терминальной ростральной пластинки, прямые (рис. 1а, 1б). Терминальная ростральная пластинка очень длинная, 2.9 (2.5–3.4[3.6,3.7]) раза в длине рыла, узколанцетовидная, вооружена зубчиками. Орбита эллипсвидная, её максимальный диаметр в 2.0 (1.8–2.2) раза меньше длины рыла и приблизительно равен посторбитальной длине (содержится 1.0 (0.9–1.1) раза в последней), 4.0 ([3.3]3.8–4.1) раза в HL ; ширина межглазничного промежутка в 1.7 (1.4–1.7[1.9]) раза меньше диаметра орбиты. Латеральный назальный гребень 2.4 (2.3–2.7) раза содержитя в длине суборбитального гребня; расстояние от нижнего края орбиты до края суборбитального гребня в 2.3 (1.4–2.3) раза меньше суборбитальной высоты. Рот небольшой, длина верхней челюсти гораздо меньше диаметра глаза, задний конец *maxillare* расположен в промежутке между вертикалями середины и заднего края зрачка; верхняя губа умеренно мясистая, более утолщённая к углам рта, слабо папильчатая; нижняя губа тонкая, гладкая. Зубы в челюстях многорядные, в наружных рядах не увеличены; зубные ленты расширены к симфизным концам *raemaxillaria* и *dentalia*; зубы на *raemaxillare* игловидные, на *dentale* – щетинковидные; длина зубного ряда на *raemaxillare* в 2.2 (1.6–2.3) раза меньше риктальной длины; зубные ряды на *dentale* достигают *rictus*. Подбородочный усик мал, 4.2 ([3.1]3.4–4.8) раза в диаметре орбиты. *Suboperculum* образует треугольный вентральный вырост. Жаберных тычинок во внутреннем ряду на первой дуге 7, в наружном и внутреннем рядах на второй дуге соответственно 6 (6–7[8]) и 7 (7[8]). Боковой костный край рыла прерванный. Основание ID в 1.3 (1.3–2.4) раза превышает междорсальный промежуток, в этом плавнике $II + 8$ лучей; второй колючий луч не вытянут в нить, 2.8 (2.0–2.7) раза в HL . Лучи IID столь же высокие, как лучи A . В P 20 лучей

¹ Рыб, у которых утрачена значительная часть хвостового конца тела, не учитывали, у таких рыб отношение TL к HL составляет от 1.9 до 2.9 раза.

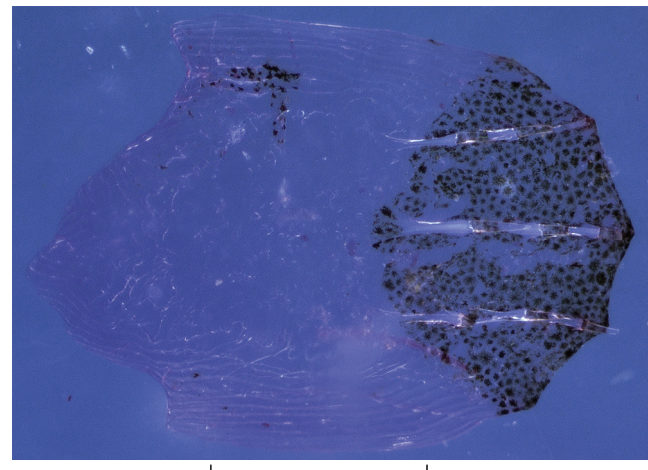


Рис. 2. *Coelorinchus ganymedes* sp. nova, чешуя с боков тела выше боковой линии в междорсальном промежутке. Масштаб: 0.75 мм.

(17–20, мода – 18) (самый верхний сильно укорочен, шиповидный), в V – 7, наружный луч V утолщён, вытянут в нить, немного не достигает или слегка заходит за начало A . Анус открывается непосредственно у начала A , окружён узким кольцом чёрной ткани (перипрокт); наружных линз фотографа две, первая из них расположена непосредственно перед перипроктом, а вторая – на груди впереди от интервентральной линии; передняя и задняя линзы соединены срединным продольным тяжом (группа IV по: Iwamoto, 1990) (рис. 1в).

Нижняя поверхность головы полностью лишена чешуи. На дорсальной поверхности рыла с каждой стороны имеется широкий голый участок (рис. 1а). Носовая ямка полностью голая. Чешуя на участке между задним краем носовой ямки, передним краем глаза и суборбитальным гребнем имеется (как правило) или отсутствует. Суборбитальный гребень под орбитой образован двумя рядами щитков, на остальном протяжении – одним; длина щитков суборбитального гребня превышает высоту. Срединный гребень рыла состоит из 10 (10–11) щитков, шипики на них расположены в продольных рядах, расходящиеся от переднего края. Гребни головы сильно ошиплены. Чешуи верха головы с двумя–четырьмя (как исключение, пятью), жаберной крышки – с тремя–шестью более или менее расходящимися рядами шипиков. Супраокципитальный и постокципиальный щитки не отличаются по размеру от окружающих чешуек.

Чешуя на теле легко облетающая, частично сохранилась лишь в передней половине тела на уровне основания ID и перед ним выше уровня основания P , а также у некоторых рыб на истмусе. Между началом, серединой основания ID , началом IID и началом A и боковой линией соответ-

ственno 5.5 ([5.0]5.5–6.5), 4.0 (4.0–5.0), 6.0 (5.0–6.0) и 10 (10–15) чешуй. Боковая линия хорошо развита, жёлобовидная, содержит 15 (15–17) чешуй до вертикали начала ID . Чешуи в предорсальной области и на боках под основанием ID (сохранились единично) и ID с двумя–пятью (как правило, тремя или четырьмя) параллельными или почти параллельными рядами мелких узких наклонных шипиков, несколько увеличивающихся в размерах каудально. Шипики срединного ряда не отличаются по величине от боковых, все ряды шипиков полные. Боковые отростки в основаниях шипиков (“buttresses”) совершенно не развиты (рис. 2). Чешуи на истмусе циклоидные, редко с одним или двумя слабыми продольными гребешками, без шипиков.

Измерения, в % HL : длина рыла 50.0 (47.6–52.2), диаметр глаза 25.0 (24.4–26.7[30.6]), посторбитальная длина 25.0 (23.1–26.8[30.6]), расстояние от заднего края орбиты до угла *raeoperculum* 21.0 (20.5–26.1), суборбитальная высота 8.0 (6.4–8.7[9.8]), расстояние от нижнего края орбиты до края суборбитального гребня 3.5 (3.3–4.8); длина верхней челюсти, *rictus* и озубленной части *rae-maxillare* соответственно 21.0 ([15.9]17.4–21.4), 17.0 (13.1–16.2) и 8.0 ([5.5]6.1–8.7[9.5]); преоральная длина 48.0 (43.5–50.0[52.2]), длина латерально-го назального и суборбитального гребней соответственно 39.0 (33.7–39.7) и 94.0 (87.0–93.9); длина терминальной ростральной пластинки 17.0 ([13.0,13.3]15.2–19.2[20.7]), ширина рыла 25.0 ([19.5]21.8–25.7), интерназальная ширина 13.5 (13.4–16.3); ширина межглазничного промежутка и промежутка между затылочными гребнями соответственно 15.0 (13.4–17.7) и 10.0 ([8.7]9.3–12.0); длина усика 6.0 (5.2–7.6[8.4]), высота задней ноздри 7.0 ([4.9]6.1–10.1); ширина головы на уровне *raeoperculum* и тела на уровне оснований P соответственно 44.0 (31.3–45.7) и 34.0 (26.1–34.8); максимальная высота тела 32.0 (27.2–39.3); первое и второе предорсальное, препекторальное, превентральное, истмовентральное и вентроанальное расстояния соответственно 106.0 (101.3–107.7), 127.0 (123.8–135.3), 104.0 (100.0–102.6), 110.0 (100.0–109.6), 20.0 ([15.2]17.0–24.8) и 36.0 (30.5–41.1[45.7]); длина P , первого (с филаментом) и второго лучей V и высота второго колючего луча ID соответственно 35.0 ([~29.3]34.2–41.9), 40.0 (32.5–41.3), 26.0 (21.4–26.1) и 36.0 ([~36.6,39.0]43.8–51.1); длина основания ID 12.0 (12.0–16.2), междорсальный промежуток 9.0 (6.1–12.0).

Окраска фиксированных рыб (рис. 1): основной фон светлый, желтоватый, на нижней поверхности головы – чисто-белый. На боковой поверхности туловища позади и над основанием P имеется крупное чётко отграниченнное округлое чёрное пятно (длина его составляет [7]8–10, высота – [5]7–9 чешуйных рядов), отстоящее от дорсального контура тела на пять–шесть рядов

чешуй. Столь же резко выраженное седловидное чёрное пятно имеется на спине немного позади вертикали начала ID (примерно на 10 чешуйных рядов), в высоту и длину занимающее с каждой стороны тела по шесть–семь рядов чешуй. Кожа у основания ID и обычно один–два ряда чешуйных карманов непосредственно под ним интенсивно пигментированы (редко края всех чешуйных карманов в промежутке между супрапекторальным пятном и основанием ID интенсивно затемнены). Края чешуйных карманов верха и боков головы, верхней и боковой поверхности тела вниз до уровня основания P отчёгливо затемнены, в предорсальной области они образуют более или менее чёткую прямую или V-образную поперечную полосу между задними концами затылочных гребней, лежащую впереди супрапекторального пятна. Темная пигментация, как правило, выражена по наружному краю затылочных гребней и в области супра- и постокципитальной чешуек. Верхнебоковая поверхность тела между супрапекторальным и дорсальным седловидным пятном со сгущением пигмента на чешуйных карманах в виде нерезкого седловидного пятна длиной до 11–13 чешуйных рядов, столь же нечёткое сгущение занимает дорсальную поверхность хвостового отдела на три–четыре чешуйных ряда позади дорсального седловидного пятна (иногда оно распадается на несколько очень нечётких седловидных пятен). Центральная поверхность туловища, боковые стенки брюшной полости и центральная половина боковой поверхности хвостового отдела тела густо испещрены разноразмерными субдермальными меланофорами, особенно густо сидящими на груди и брюхе. Область груди (от истмуса до интервентральной линии) и вокруг светящегося органа с выраженным коричнево-голубым отливом (рис. 1в). Передний край ID (перепонка между вторым колючим и первым ветвистым лучами) интенсивно–чёрная; кроме того, у части рыб пигментация развита на всей перепонке дистальной 1/2–2/3 этого плавника или образует субдистальную перевязь от переднего края плавника к заднему. Лучи передней половины ID черноватые, особенно интенсивно пигментированы в начальной части этого плавника (рис. 1д); в остальном плавники не окрашены, лишь с мелкими точечными меланофорами по ходу лучей (плохо различимыми невооружённым глазом, заметно сгущёнными (вплоть до формирования ярких пятен) лишь в основании V). Срединный рыльный гребень, передний и верхний края носовой ямки и край орбиты в тёмном обрамлении. Нижняя поверхность головы испещрена точечными меланофорами, заметно более крупными в гулярной области и на жаберных перепонках. Жаберные перепонки помимо отдельных точечных меланофоров имеют разлитую буроватую пигментацию. Ротовая полость белая. Свободные невромасты

Отличительные признаки *Coelorinchus ganymedes* sp. nova, *C. gladius* и *C. spilonotus*

Признак	<i>C. ganymedes</i>	<i>C. gladius</i>	<i>C. spilonotus</i>
Рисунок тела	Контрастное супрапекторальное пятно, чётко ограниченное от серии дорсальных седловидных пятен; в серии дорсальных пятен наиболее контрастное расположено позади начала <i>ID</i>	Только контрастное супрапекторальное пятно	Контрастное седловидное пятно перед началом <i>ID</i> , полностью сливающееся с супрапекторальным пятном; контрастное седловидное пятно позади начала <i>ID</i> ; между ними и позади последнего – нечёткие седловидные пятна
Число рядов шипиков на чешуях тела	2–5 (обычно 3 или 4)	6–8 (увеличивается с ростом)	5–10 (увеличивается с ростом)
Отношение посторбитальной длины к диаметру орбиты	0.9–1.1 (как правило, 1.0)	1.2–1.8 (как правило, 1.3–1.4)	1.3–1.4
Отношение длины рыла к длине терминальной ростральной пластинки	2.5–3.7	2.4–4.1	7.0–8.0
Бесчешуйные участки на верхней поверхности рыла	Есть	Нет	Есть
Диаметр орбиты	24.4–30.6	16.8–24.8	21.2–27.9
Преоральная длина	43.5–52.2	44.3–48.1	35.4–44.8
Расстояние от заднего края орбиты до угла <i>praeoperculum</i>	20.5–26.1	23.4–30.2	25.3–32.8
Длина верхней челюсти	15.9–21.4	15.4–18.4	20.3–26.0
Интерназальная ширина	13.4–16.3	14.7–17.6	17–22
Интерорбитальная ширина	13.4–17.7	20.0–21.2	18.0–24.1
	B % HL		

на вентральной поверхности головы плохо заметны, не пигментированы; на дорсальной – отчётливые, большей частью окаймлены тёмным.

Этимология. Вид назван по имени Ганимеда – в греческой мифологии юноша, за свою красоту взятый на Олимп в качестве виночерпия богов; видовой эпитет отражает изящный облик и нарядную окраску нового вида.

Сравнительные замечания. По наличию протяжённого светящегося органа с двумя широко разобщёнными линзами (группа IV: Iwamoto, 1990), заострённой терминальной ростральной пластинки и высокого *ID* (лучи которого равны по высоте лучам *A*) новый вид принадлежит к группе видов “*C. hubbsi*” (sensu Iwamoto et al., 2009; Nakayama et al., 2020) подрода *Quincuncia* Gilbert et Hubbs, 1920, в пределах которой он наиболее сходен с *C. gladius*, учитывая наличие у него исключительно длинного рыла (1.9–2.1 раза в *HL*) с очень длинной узколанцетной терминальной ростральной пластинкой и чётко обособленного пигментного пятна между основа-

ниями *P* и *ID*. Сочетание указанных признаков отличает эти виды от всех видов *Coelorinchus* группы IV вообще. От *C. gladius* новый вид хорошо отличается окраской, прежде всего, наличием контрастного седловидного пятна позади уровня начала *ID*. Кроме того, у нового вида имеется пятно под основанием *ID*, нечёткое седловидное пятно перед началом *ID*, между контрастными пятнами и позади второго из них. У *C. gladius* рисунок тела представлен только контрастным супрапекторальным пятном. Окраска *ID* у обоих видов сходная, однако в отличие от нового вида у *C. gladius* лучи *ID* не пигментированы. По сравнению с *C. gladius* у нового вида число рядов шипиков на чешуях тела при тех же абсолютных размерах рыбы меньше (2–5, обычно 3 или 4, против 6–8), орбита крупнее (её диаметр равен или почти равен посторбитальной длине), межглазничный промежуток уже и соизмерим по величине с интерназальным промежутком, тогда как у *C. gladius* он явственно шире последнего (таблица).

Еще одним похожим видом является *C. spilonotus* Sazonov et Iwamoto, 1992, известный по наход-

дениям у Гавайских о-вов и на хребтах Наска и Сала-и-Гомес. По длине рыла гавайская популяция *C. spilonotus* сопоставима как с новым видом, так и с *C. gladius*, тогда как у типичных экземпляров с хребтов Наска и Сала-и-Гомес рыло короче (42–48% *HL*). В то же время преоральная длина у *C. spilonotus* меньше, чему нового вида (35.4–44.8 против 43.5–52.2% *HL*). Как и *C. ganymedes*, этот вид характеризуется сочетанием контрастных и нечётких седловидных полос, расположение которых у обоих видов очень схоже. Однако в отличие от нового вида у *C. spilonotus* нет обособленного супрапекторального пятна, которое полностью сливается с первым седловидным пятном, расположенным перед основанием *ID*. У нового вида первое седловидное пятно нерезкое, расположено впереди уровня супрапекторального пятна; последнее у части рыб может быть связано с маленьким пигментным пятном в основании *ID* посредством тёмной пигментации промежуточных чешуйных карманов, но его границы всегда чётко различимы. Хотя *C. spilonotus* характеризуется наличием чёрного пятна на вершине *ID*, перепонка между вторым колючим и первым ветвистым лучами этого плавника не имеет интенсивно чёрной пигментации на всём протяжении, характерной для нового вида. В отличие от нового вида лучи *ID* у *C. spilonotus* не пигментированы. Помимо особенностей окраски новый вид отличается от *C. spilonotus* тем, что диаметр глаза у него равен посторбитальной длине (у сравниваемого вида заметно меньше последней), а также наличием длиной терминальной ростральной пластинки, меньшими значениями ширины рта и орбито-преоперкулярной длины, меньшей интерорбитальной и интерназальной шириной (таблица) и меньшим числом рядов шипиков на чешуях боков тела ([2]3–4[5] против 5–10, причем 5–6 рядов шипиков наблюдается у *C. spilonotus* только среди самых мелких рыб (*HL* ~ 30 мм: Sazonov, Iwamoto, 1992)).

Различия между тремя вышеперечисленными видами показаны в таблице.

Среди других видов подрода *Quincuncia* супрапекторальное пятно имеется ещё только у *C. matsubarai* Okamura, 1982, однако других сходств между этим видом и *C. ganymedes* нет. Отличия между видами группы “*C. hubbsi*” приведены ниже в определительной таблице.

Таблица для определения видов группы “*C. hubbsi*”

- | | | | |
|--|---|---|--|
| 1(2) Костный край рыла сплошной | 3 | пигментной полосой..... | <i>C. acutirostris</i> |
| 2(1) Костный край рыла прерванный..... | 5 | Smith et Radcliffe, 1912 | |
| 3(4) Поперечных полос на теле нет; между основанием <i>P</i> и вертикалью начала <i>ID</i> по середине боков проходит продольная тёмная полоса (иногда в задней части обособляющаяся в виде пятна); передняя и задняя линзы фотофора соединены | | 4(3) Рисунок тела представлен поперечными полосами; передняя и задняя линзы фотофора не соединяются пигментной полосой..... | <i>C. cylindricus</i> Iwamoto et Merrett, 1997 |
| | | 5(6) В верхней половине боков туловища между основаниями <i>P</i> и <i>ID</i> имеется округлое или овальное пигментное пятно, чётко отделённое от остального пигментного рисунка на теле..... | 7 |
| | | 6(5) Между основаниями <i>P</i> и <i>ID</i> нет пигментного пятна либо оно полностью сливается с седловидным пятном перед основанием <i>ID</i> | 12 |
| | | 7(8) Длина рыла 1.9–2.1 раза укладывается в <i>HL</i> ; верхняя челюсть заметно короче диаметра глаза; ротовая полость чисто-белая..... | 9 |
| | | 8(7) Длина рыла 2.1–2.7 раза укладывается в <i>HL</i> ; верхняя челюсть равна диаметру глаза; ротовая полость серая..... | <i>C. matsubarai</i> Okamura, 1982 |
| | | 9(10) Имеется только контрастное супрапекторальное пятно; диаметр орбиты менее 25% <i>HL</i> , короче посторбитальной длины головы; верх рыла полностью покрыт чешуйей, чешуи на теле с 6–8 рядами шипиков..... | <i>C. gladius</i> |
| | | Gilbert et Cramer, 1897 | |
| | | 10(9) Помимо супрапекторального пятна имеются дорсальные седловидные пятна; диаметр орбиты более 24% <i>HL</i> , равен посторбитальной длине головы; верх рыла с широкими голыми участками; чешуи на теле с (2)3–4(5) рядами шипиков..... | <i>C. ganymedes</i> sp. nova |
| | | 12(13) Рисунок на теле состоит из поперечных полос; <i>suboperculum</i> образуетentralный вырост..... | 16 |
| | | 13(12) Рисунок на теле отсутствует или образован только продольными полосами; <i>suboperculum</i> не образует ventralного выроста..... | 14 |
| | | 14(15) Верхняя челюсть укладывается 4.6–4.8 раза в <i>HL</i> ; рисунок на теле отсутствует..... | <i>C. brevirostris</i> Okamura, 1984 |
| | | 15(14) Верхняя челюсть укладывается 3.7–4.5 раза в <i>HL</i> ; рисунок на теле представлен тремя продольными тёмными полосами..... | <i>C. hubbsi</i> |
| | | Matsubara, 1936 | |
| | | 16(17) Первые три (наиболее чёткие) поперечные полосы на теле ориентированы диагонально или, по крайней мере, третья полоса продолжается вперед в виде продольной полосы, направленной к основанию <i>P</i> | 20 |
| | | 17(16) Поперечные полосы на теле ориентированы вертикально..... | 18 |
| | | 18(19) На теле две резко очерченные поперечные полосы, между которыми и позади второй из них прослеживаются дополнительные нечёткие поперечные седловидные полосы; первая полоса образована слиянием седловидного пятна перед нача- | |

лом *ID* и супрапекторального пятна; вторая контрастная полоса расположена позади начала *IID*; вершина *ID* с чёрным пятном; чешуи на верхней поверхности головы с несколькими расходящимися рядами шипиков.....*C. spilonotus*
Sazonov et Iwamoto, 1992

19(18) На теле около семи контрастных седловидных полос; вершина *ID* без пятна; чешуи на верхней поверхности головы с единственным рядом шипиков.....*C. multifasciatus*
Sazonov et Iwamoto, 1992

20(21) Третья диагональная полоса на теле продолжается вперёд по средней линии боков почти до основания *P*.....22

21(20) Третья диагональная полоса не продолжается вперёд к основанию *P*....*C. melanosagmatus*
Iwamoto et Anderson, 1999

22(23) Первая и вторая поперечные полосы на туловище слабо наклонные или почти вертикальные; продольная полоса в заглазничной части головы не выражена; *ID* равномерно затемнён.....*C. fuscigulus* Iwamoto, Ho et Shao, 2009

23(22) Первая и вторая поперечные полосы на туловище резко косые; чёткая продольная полоса проходит в заглазничной части головы над верхним краем жаберной крышки; *ID* с крупным тёмным пятном в средней и задней частях.....*C. cingulatus* Gilbert et Hubbs, 1920

БЛАГОДАРНОСТИ

Я глубоко признателен Г. Дюамелю, Дж. Пфлигеру и З. Габси, Парижский национальный музей естественной истории (Guy Duhamel, Jonathan Pfliger, Zora Gabsi, MNHN) за предоставление материала по новому виду и условий для работы в музее; С. Раредон, Смитсоновский институт, Вашингтон, США (San-

dra Raredon, Smithsonian Institution, Washington, USA); А. Сузумото, К. Атта, Музей Б.П. Бишопа, Гонолулу, США (Arnold Suzumoto, Calder Atta, Bernice P. Bishop Museum, Honolulu, USA) – за сравнительные материалы по *C. gladius*.

ФИНАНСИРОВАНИЕ РАБОТЫ

Изучение морфологии и систематики рыб выполнялось в рамках темы государственного задания № 0109-2018-0076, фауны рыб Мирового океана – темы государственного задания № 0149-2018-0009. Описание нового вида поддержано Российским научным фондом, грант № 19-14-00026.

СПИСОК ЛИТЕРАТУРЫ

- Прокофьев А.М. 2020. Новый вид полорылов рода *Coelorinchus* с Северо-Западного и Гавайского подводных хребтов (Тихий океан) (Teleostei, Gadiformes, Macrouridae) // Амур. зоол. журн. Т. 12. № 3. С. 299–310. <https://doi.org/10.33910/2686-9519-2020-12-3-299-310>
- Iwamoto T. 1990. Family Macrouridae // FAO species catalogue. V. 10. Gadiform fishes of the world. An annotated and illustrated catalogue of cods, hakes, grenadiers and other gadiform fishes known to date. Rome: FAO. P. 90–317.
- Iwamoto T., Ho H.-C., Shao K.-T. 2009. Description of a new *Coelorinchus* (Macrouridae, Gadiformes, Teleostei) from Taiwan, with notable new records of grenadiers from the South China Sea // Zootaxa. № 2326. P. 39–50.
- Nakayama N., Prokofiev A.M., Kawai T. 2020. *Coelorinchus posteromaculatus* (Actinopterygii, Gadiformes, Macrouridae), a new species of grenadier from the eastern Indian Ocean // Ichthyol. Res. V. 67. P. 465–472. <https://doi.org/10.1007/s10228-020-00741-x>
- Sazonov Y.I., Iwamoto T. 1992. Grenadiers (Pisces, Gadiformes) of the Nazca and Sala y Gomez ridges, southeastern Pacific // Proc. Calif. Acad. Sci. V. 48. № 2. P. 27–95.